

構造物の不規則振動における最大応答の確率分布について

京都大学工学部 正会員 後藤尚男 正会員 ○島田弘行

1. まえがき 構造物に作用する外力のうち地盤力、風力などは時間的に不規則に変化するものであり、確定関数として表わすことが困難である。このような不規則外力に対する構造物の強度を判定するためには、問題となる応答量が定められた許容値を超えない確率、すなわち確率分布を知ることが重要である。本研究では、不規則外力に対する構造物の最大応答の確率分布を取り扱ったが、この問題を厳密に解くことには種々の困難があつて、この方面的研究はあまり多くはなされていない。現在までに、random walk の理論を応用したもの¹⁾、求めた確率分布の上・下界を示したもの²⁾、ある時刻での応答が過去の応答特性に影響されないとして解析を行なったもの^{3), 4)}などがある。これらはいずれも近似的な取扱いであるが、扱うる応答量が特殊な場合に限られていたり、近似度の検討が十分でないなどの問題が残されている。本研究の解法も一つの近似解法であるが、各時刻間での応答の相間の影響をできるだけ取り入れようとしたものである。

2. 最大応答の確率分布 線形 / 自由度まで表わされた構造物が時刻 t で静止状態にあり、これに平均値ゼロの確率過程とみなせた地動加速度 $\ddot{\zeta}(t)$ が作用したものとすると、この構造物の pseudo velocity 応答 $x(t)$ は、周知のように次式で与えられる。

$$x(t) = \int_{t_0}^t e^{-\frac{1}{2} h_n \omega_n (t-t')} \sin \sqrt{1-h_n^2} \omega_n (t-t') \ddot{\zeta}(t') dt' \quad (1)$$

ただし、 ω_n : 周期振動数、 h_n : 減衰定数

式(1)の $x(t)$ の $0 \leq t \leq T$ における絶対最大値 R の確率分布は次式で表わされる。

$$\text{至}(R, T) = P[\max|x(t)| \leq R; 0 \leq t \leq T] \quad (2)$$

出生過程における基礎微分方程式を解いてその結果を式(2)に用ひると次式をうす。

$$\text{至}(R, T) = P[|x(0)| \leq R] \exp \left\{ - \int_0^T c_0(R, t) dt \right\} \quad (3)$$

ただし $c_0(R, t) dt = P[|x(t+dt)| > R | \max|x(t')| \leq R; 0 \leq t' \leq t]$ (4)

式(3)は至(R, T)の厳密解を与えるが、式(4)の $c_0(R, t)$ を求めることが困難なためにこれまでその値を計算することはできない。そこで $c_0(R, t)$ を近似的に表示することを試みる。すなわち、式(4)は連続なじにについて満足されねばならないが、いま

$$0 \leq t_1 < t_2 < \dots < t_{\text{ret}} < T$$

なる有限個の時刻について同式を満足するような $\bar{c}_0(R, t)$ によって $c_0(R, t)$ を近似すると、結局至(R, T)の近似式として次式をうす。

$$\text{至}(R, T) \cong P[|x(0)| \leq R] \exp \left\{ - \int_0^T \bar{c}_0(R, t) dt \right\} \quad (5)$$

$$\bar{c}_0(R, t) = Q_1(R, t) / Q_2(R, t)$$

$$Q_1(R, t) = \frac{\sigma_0}{G_t} \int_{-\frac{R}{G_t}}^{\frac{R}{G_t}} d\tilde{x}_1 \int_{-\frac{R}{G_t}}^{\frac{R}{G_t}} d\tilde{x}_2 \cdots \int_{-\frac{R}{G_t}}^{\frac{R}{G_t}} \left\{ \int_0^\infty I_{\tilde{x}_1} \phi_n(\tilde{x}_1, \tilde{x}_2, \dots, \tilde{x}_r, -\frac{R}{G_t}, \tilde{x}_t) d\tilde{x}_1 + \int_0^\infty I_{\tilde{x}_t} \phi_n(\tilde{x}_1, \tilde{x}_2, \dots, \tilde{x}_r, \frac{R}{G_t}, \tilde{x}_t) d\tilde{x}_t \right\} d\tilde{x}_r \quad (6)$$

$$Q_2(R, t) = \int_{\frac{R}{\sigma_t}}^{\frac{R}{\sigma_t}} d\tilde{x}_1 \int_{\frac{R}{\sigma_t}}^{\frac{R}{\sigma_t}} d\tilde{x}_2 \cdots \int_{\frac{R}{\sigma_t}}^{\frac{R}{\sigma_t}} d\tilde{x}_r \int_{\frac{R}{\sigma_t}}^{\frac{R}{\sigma_t}} \phi_{2n}(\tilde{x}_1, \tilde{x}_2, \dots, \tilde{x}_r, \tilde{x}_t) d\tilde{x}_t \quad \cdots \cdots \cdots \quad (7)$$

ただし $\sigma_i^2 = E[x^2(t_i)]$, $\tilde{x}_i = x(t_i)/\sigma_i$, ($i=1, 2, \dots, r(t)$); $\sigma_t^2 = E[\dot{x}^2(t)]$, $\tilde{x}_t = \dot{x}(t)/\sigma_t$; $\tilde{\sigma}_t^2 = E[\ddot{x}^2(t)]$, $\tilde{x}_{tt} = \ddot{x}(t)/\tilde{\sigma}_t$,

また $\phi_{2n}(\tilde{x}_1, \tilde{x}_2, \dots, \tilde{x}_r, \tilde{x}_t, \tilde{x}_{tt})$, および ψ

$\phi_{2n}(\tilde{x}_1, \tilde{x}_2, \dots, \tilde{x}_r, \tilde{x}_t)$ はそれぞれの変数の同時確率密度関数である。

3. 計算例 入力加速度 $\ddot{x}(t)$

以上に応答 $x(t)$ が正規定常過程となる場合について数値計算を行なった。 $\ddot{x}(t)$ のパワースペクトル密度には次の形を用いた。

$$S(\omega) = \beta^2 \frac{3}{128 \omega_0} \left(\frac{\omega}{\omega_0} \right)^4 \exp(-4 \frac{\omega}{\omega_0})$$

計算は $t=0, 1, 2$ について行なったが、 $t=1, 2$ に対する後日次の通りを考慮した。

case I: $r=1$ の場合 $t-t_1=T_n/4$

$r=2$ の場合 $t-t_1=T_n/2, t-t_2=T_n/4$

case II: $r=1$ の場合 $t-t_1=T_n/2$

$r=2$ の場合 $t-t_1=T_n, t-t_2=T_n/2$

ただし $T_n=2\pi/\omega_n$: 固有周期

図-1 に case I に対する計算結果を示した。

同図中で、 $T_0=2\pi/\omega_0, \gamma=\omega_0/\omega_n$ 。同図には、ランダム地震動を計算機上で発生させ、その最大値を読み取って求めた実験値もあわせて示してある。また表-1 には各場合に対する $E[R]/\sigma_t$ の期待値を、

$$\frac{E[R]}{\sigma_t} = \frac{1}{\sigma_t^2} \int_0^\infty \{1 - \Phi(R, t)\} dR$$

より算出して示した。なお、本研究の詳細は、京都大学防災研究所年報第11号に投稿中である。

参考文献

- 1) Rosenblueth and Bustamante: Proc. ASCE, Vol. 88, EM3, Jun. 1962.
- 2) Freudenthal and Shinogawa: Trans. JSCE, No. 118, June 1965.
- 3) Davenport: Proc. ICE, Vol. 19, 1961.
- 4) 小松: 土木学会論文集, 142号, p. 42.6.

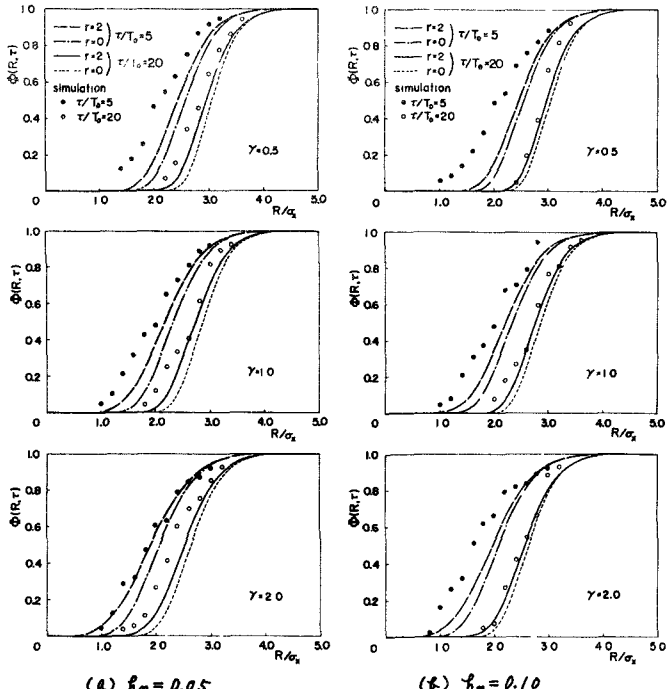


図-1 最大応答の確率分布

表-1 最大応答の期待値 $E[R]/\sigma_t$

(a) $\gamma_n = 0.05$

r r/T_0 case	0.5		1.0		2.0		
	5	20	5	20	5	20	
0	I, II	2.611	3.097	2.393	2.894	2.106	2.664
	I	2.609	3.096	2.334	2.866	2.043	2.649
1	II	2.472	2.999	2.228	2.767	2.017	2.581
	I	2.492	2.993	2.198	2.768	1.936	2.550
2	II	2.450	2.980	2.215	2.758	2.003	2.559
	simulation	2.187	2.860	2.116	2.673	1.954	2.387

(b) $\gamma_n = 0.10$

r r/T_0 case	0.5		1.0		2.0		
	5	20	5	20	5	20	
0	I, II	2.575	3.075	2.392	2.893	2.124	2.680
	I	2.590	3.096	2.389	2.890	2.064	2.661
1	II	2.472	3.001	2.261	2.806	2.071	2.629
	I	2.494	3.002	2.240	2.802	2.000	2.607
2	II	2.468	2.999	2.256	2.799	2.064	2.622
	simulation	2.188	2.930	1.956	2.763	1.730	2.617